

ПРИНЦИП И СТРУКТУРА СИСТЕМЫ АВТОМАТИЗАЦИИ ШАХТНЫХ КОНВЕЙЕРНЫХ ЛИНИЙ С ПРОМЕЖУТОЧНЫМИ БУНКЕРАМИ

Борисов А.А., Жукова Н.В., Яремко И.Н.

Донецкий государственный технический университет

Кафедра АТ

Так как компоненты вектора

Abstract

Borisov A. and other. Principle and general structure of a system of automated control by a complex mining conveyor line with intermediate bunkers. In the article are presented a principle and general structure of a system of automated control by a complex mining conveyor line with intermediate bunkers, providing its continuous, rhythmical work with loading close to nominal at the expense of optimum control of stocks in bunkers and sharp variations goods traffics.

Работа добычных участков шахт характеризуется неравномерным поступлением угольного потока из забоев. В этих условиях для сглаживания резких колебаний величины угольного потока в местах погрузки и перегрузки его на магистральные конвейерные линии используют бункерные устройства, оборудованные данными питателями (дозаторами). Однако, при ручном управлении сложной конвейерной системой с бункерными устройствами, забои в случаях необходимости одновременной разгрузки нескольких бункеров и интенсивном потоке угля вынуждены прерывать работу, а в случае резкого уменьшения потока и отсутствия угля в бункере должны останавливаться подбункерные конвейеры или вся конвейерная линия. При этом из-за отсутствия автоматического контроля и управления системой, несмотря на значительные емкости бункеров, обеспечить надежную, бесперебойную и ритмичную работу конвейерной системы не удается.

На рис.1.а и рис.1.б приведены принцип и общая структура системы автоматизированного управления, обеспечивающие непрерывную, ритмичную работу сложных конвейерных линий с производительностью (загрузкой) близкой к номинальной.

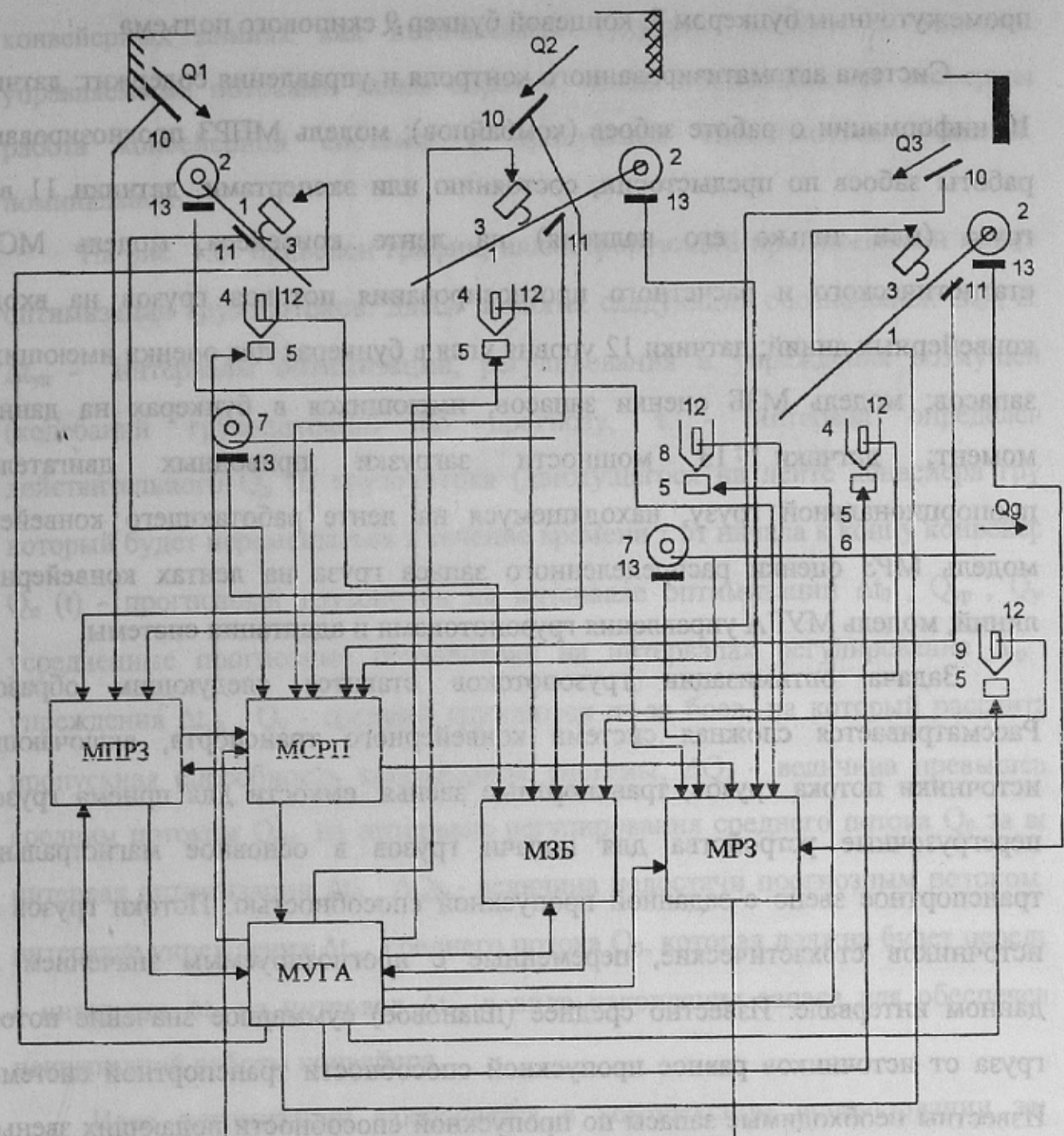


Рисунок 1.а - Структурная схема САУ конвейерной линии.

Структура технологической части (рис.1.а) включает: забои Q_1-Q_3 как источники угольного потока; подающие конвейеры 1 с приводами 2 и с оплужковыми сбрасывателями 3, для направления потока либо в бункеры либо мимо их непосредственно на последующие конвейеры; бункерные устройства 4 с подбункерными конвейерными питателями 5 для регулирования потока из

бункеров; магистральные конвейерные линии 6 с приводами 7 и промежуточным бункером 8; концевой бункер 9 скрапового подъема.

Система автоматизированного контроля и управления содержит: датчики 10 информации о работе забоев (комбайнов); модель МПРЗ прогнозирования работы забоев по предыстории, состоянию или экспертами; датчики 11 веса груза (или только его наличия) на ленте конвейера; модель МСРП статистического и расчетного прогнозирования потоков грузов на входах конвейерных линий; датчики 12 уровня угля в бункерах для оценки имеющихся запасов; модель МЗБ оценки запасов, имеющихся в бункерах на данный момент; датчики 13 мощности загрузки приводных двигателей, пропорциональной грузу, находящемуся на ленте работающего конвейера; модель МРЗ оценки распределенного запаса груза на лентах конвейерных линий; модель МУГА управления грузопотоками и адаптации системы.

Задача оптимизации грузопотоков ставится следующим образом. Рассматривается сложная система конвейерного транспорта, включающая источники потока грузов, транспортные звенья, емкости для приема грузов, перегрузочные устройства для подачи грузов в основное магистральное транспортное звено с заданной пропускной способностью. Потоки грузов от источников стохастические, переменные с прогнозируемым значением на данном интервале. Известно среднее (плановое) суммарное значение потока груза от источников равное пропускной способности транспортной системы. Известны необходимые запасы по пропускной способности подающих звеньев и магистрального транспортного звена, обеспечивающие перспективное развитие угледобычи.

Ввиду большой дисперсии, резких колебаний грузопотоков, может оказаться, что в момент прекращения грузопотока запас его в емкости будет малым или отсутствовать, что может вызвать остановку конвейерной линии, а при резком увеличении потока и большом запасе угля в емкости возможно переполнение бункера и остановка забоя. Задача заключается в поддержании непрерывного баланса между входными (в том числе и будущими) потоками из

забоев, запасами грузов сосредоточенными в бункерах и распределенными конвейерных линиях как источниками будущих потоков, и выходны управляемыми потоками таким образом, чтобы обеспечивалась непрерывы работы конвейерной системы с пропускной способностью близкой номинальной.

На рис. 1.6 приведен график, иллюстрирующий предложенный принци оптимизации грузопотоков. Здесь приняты следующие обозначения: Δt_0 , $\Delta t_{\text{уп}}$ - интервалы оптимизации, регулирования и упреждения возмущен (колебаний грузопотоков) по прогнозу, τ - интервал определен действительного $Q_d(t)$ грузопотока (движущегося на ленте конвейера) гру который будет перемещаться в течение времени τ от начала к концу конвейер $Q_p(t)$ - прогнозный грузопоток на интервале оптимизации Δt_0 , $Q_{\text{уп}}$, Q_u усредненные прогнозные грузопотоки на интервалах регулирования Δt_p упреждения $\Delta t_{\text{уп}}$, Q_0 - средний грузопоток из-за боев, на который рассчита пропускная способность конвейерной системы, ΔQ_1 - величина превышен средним потоком $Q_{\text{уп}}$ на интервале регулирования среднего потока Q_0 за вс интервал оптимизации Δt_0 , ΔQ_2 - величина недостачи прогнозным потоком интервале упреждения $\Delta t_{\text{уп}}$ среднего потока Q_0 , которая должна будет переда с интервала Δt_p на интервал $\Delta t_{\text{уп}}$ в виде накопления запаса для обеспечен непрерывной работы конвейера.

Идея оптимизации заключается в комплексном использовании за управления запасами в бункерах для обеспечения непрерывности грузопоток потребителю и управления грузопотоком в допустимых пределах так, что запасы находились в пределах емкостей бункеров и сохранялось среднее оптимизируемый интервал значение грузопотока к потребителю. Друг особенностью принципа оптимизации системы является возможность учет использования всей информации о текущем, прошлом и будущем (прогнози состояния системы. Для этого весь интервал оптимизации Δt_0 разбит интервалы регулирования Δt_p и упреждения $\Delta t_{\text{уп}}$.

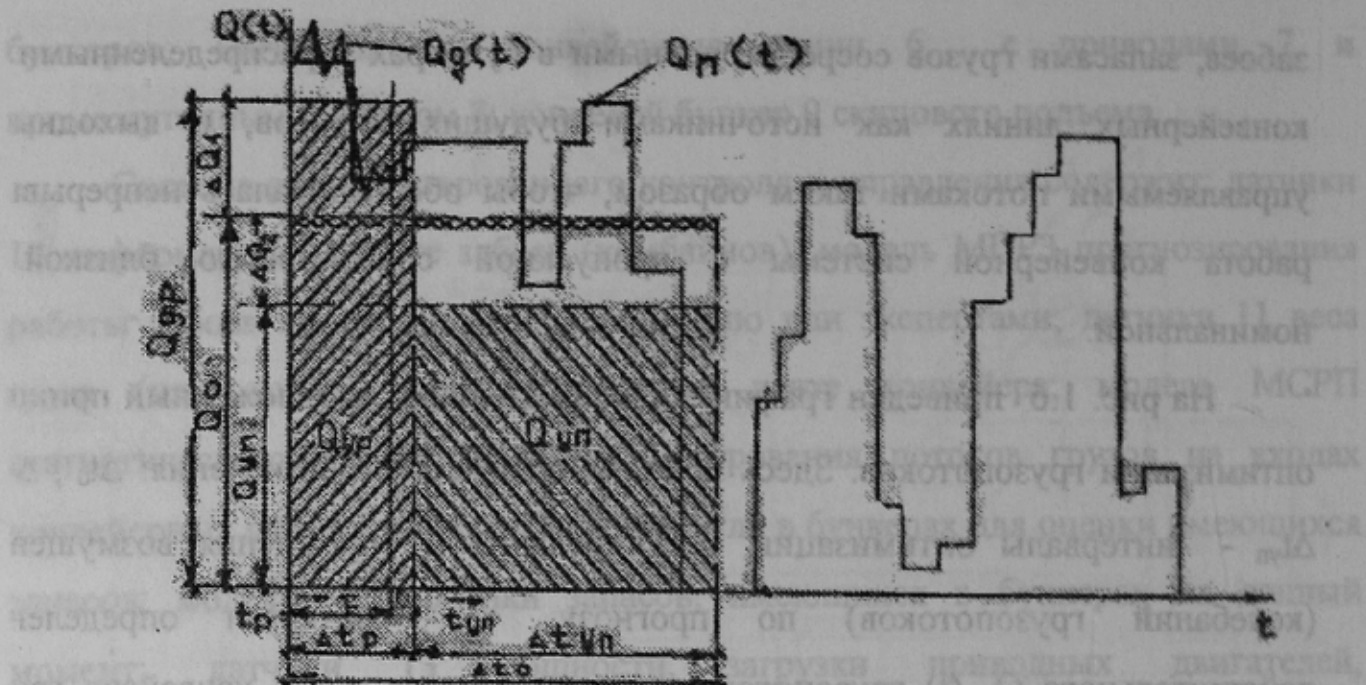


Рисунок 1.6. График оптимизації грузопотоків.

Интервал регулирования необходим для перевода инерционного звена бункера и конвейерной линии в нужное состояние за Δt_p заранее для накопления или расходования запаса груза. Интервал упреждения Δt_{up} необходим для определения направления перевода узла в то или иное состояние (расходования или накопления запасов) по ожидаемому (прогнозному) грузопотоку на этом интервале. Кроме того введен интервал τ определения гарантированного измеряемого грузопотока, который может быть обеспечен на время τ движущимися на конвейерах распределенными, определяемыми по предыстории начиная с момента $t-\tau$ и фиксировавшихся датчиками веса груза по ленте конвейера.

Функционирование системы оптимизации (рис.1.а) осуществляется в следующем порядке.

По информации датчиков 10 о текущем состоянии и данным экспертных (оперативных) оценок будущего состояния забоев, регистрации предыстории работы забоев в моделях МПРЗ и МСРП вырабатываются прогнозы усредненных грузопотоков Q_{up} и Q_{lo} на интервалах Δt_p и Δt_{up} . Одновременно в моделях МСРП и МРЗ по показаниям датчиков веса 11 груза на лентах

конвейеров и датчиков 13 загрузки приводных двигателей конвейеров 1, 6 определяется величина распределенного запаса груза и будущий усредненный грузопоток Q_d на интервале τ при разгрузках конвейерных линий. Все потоки Q_{up} , Q_{up} , Q_d прогнозируются и усредняются на своих интервалах Δt_p , Δt_{up} , τ в скользящем режиме. По данным текущих оценок работы забоев (комбайнов) и оценок экспертов МПРЗ, статическому прогнозу по предыстории конвейерной системы (МСРП) и данным о потоке Q_d на интервале τ (МРЗ) составляется гибридный прогноз Q_{up} и Q_{up} для Δt_p , Δt_{up} с учетом «весов» составляющих прогнозов. При этом «веса» ω_i для составляющих прогнозов, определенных по различным каналам, являются переменными оптимизации для модели МУГА управления и адаптации прогнозных моделей (МПРЗ, МСРП, МРЗ) по критерию достоверности. Таким образом, в модели МУГА в любой момент времени имеется информация о будущем состоянии конвейерной системы по грузопотокам Q_{up} и Q_{up} . Далее по показаниям датчиков уровня 12 в бункерах 4, 8 в модели МЗБ формируются величины запасов грузов, также поступающих в модель МУГА для управления грузопотоками. В модели МУГА по прогнозным грузопотокам Q_{up} на интервале Δt_p (рис.1.б) и Q_{up} на интервале Δt_{up} , определяется среднее значение грузопотока, с которым должна работать система весь интервал $\Delta t_0 = \Delta t_p + \Delta t_{up}$. Если поток Q_{up} на интервале Δt_p превышает средний опорный Q_o (как показано на рис.1.б) на ΔQ_1 , а Q_{up} меньше опорного на ΔQ_2 , то во избежании остановки конвейера в интервале Δt_{up} МУГА определяет запас, который должен быть накоплен за Δt_p при большом грузопотоке, так чтобы его хватило для работы конвейера в период Δt_{up} при малом грузопотоке, и обеспечивалась средняя производительность конвейерной линии, равная среднему грузопотоку Q_o за период Δt_0 . После определения в МУГА необходимого запаса в бункерах, который должен быть накоплен на интервале Δt_p для обеспечения работы конвейеров на интервале Δt_{up} , рассчитывается производительность подбункерного (подающего) конвейера с учетом работы его на запасе при малом грузопотоке на прогнозном интервале

$\Delta t_{\text{уп}}$. Расчетные значения уровня в бункере и производительности конвейера передаются блоком МУГА для исполнения на дозаторы 5 бункерных устройств и плужковые сбрасыватели 3. Кроме того, по сигналам рассогласования прогнозных и реальных значений грузопотоков и запасов грузов из блока МУГА на выходы моделей МПРЗ, МСРП, МЗБ и МРЗ подаются корректирующие сигналы для их адаптации.

Таким образом, приведенный принцип и структура оптимизации обеспечивают работу конвейерной системы в непрерывном режиме с пропускной способностью близкой к среднему грузопотоку Q_0 из забоев, за счет оптимального управления запасами в бункерах и резких колебаний грузопотоков.

Рисунок 1.6 График оптимизации грузопотоков.

На рисунке 1.6 показан график оптимизации грузопотоков. Ось времени t имеет начальную точку t_0 и конечную точку t_f . На графике изображены два грузопотока: Q_1 (верхний) и Q_2 (нижний). График показывает, что грузопоток Q_1 имеет пиковый характер, а грузопоток Q_2 имеет более равномерный, постоянный характер. Время t от t_0 до t_f разделено на интервалы Δt , на которых определяются текущие значения грузопотоков $Q_1(t)$ и $Q_2(t)$.

Функционирование системы оптимизации (рис. 1.а) осуществляется в виде циклического процесса, который может быть обусловлен на время Δt (рис. 1.б) и $\Delta t + \Delta t$ (рис. 1.в).

На рисунке 1.6 показано, что в каждый момент времени t система оптимизации получает информацию о текущем состоянии и данных экспортных и импортных грузов из забоя, хранящихся в бункерах АТМ, а также о будущем состоянии забоя, регистрации предыстории и т.д. На основе этой информации определяются оптимальные параметры (отношения) грузопотоков, которые определяются в зависимости от текущего состояния забоя и фиксированных датчиков веса груза. Результатом является определение оптимальных значений грузопотоков Q_1 и Q_2 для каждого из интервалов Δt .